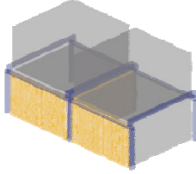
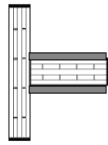
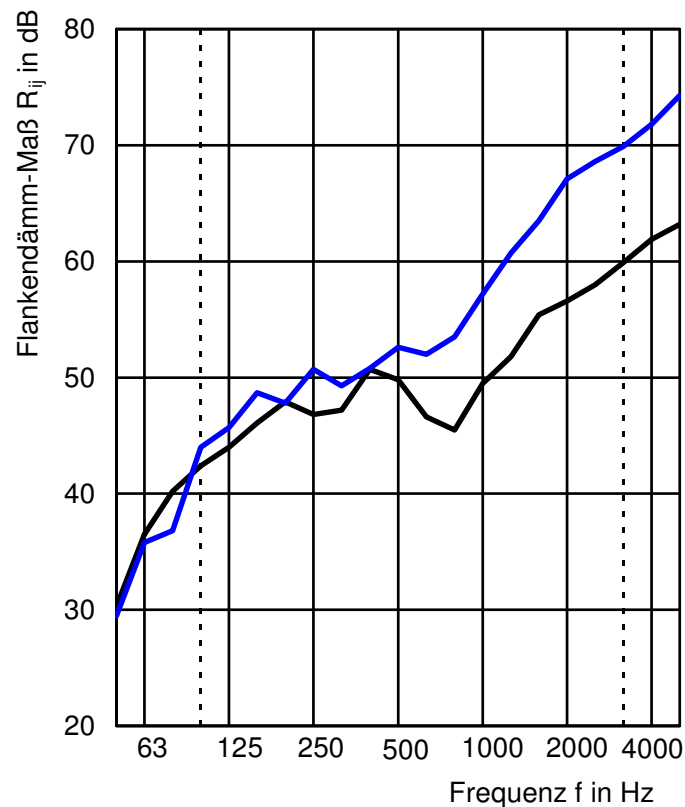


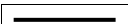

### Horizontaler T-Stoß, Flanke durchlaufend

Aufbauvariante	3a_F_03	
Flankenwand	80 mm BSP	$m' = 39 \text{ kg/m}^2$
Trennwand	80 mm BSP + beidseitig 12,5 mm GKB	$m' = 59 \text{ kg/m}^2$
$m'_{\text{Trennwand}} / m'_{\text{Flankenwand}}$	1,52	
Kopplungslänge	$l_{ij} = 2,7 \text{ m}$	 
Bauteilfläche Trennwand	$S_{Dd} = 11,8 \text{ m}^2$	
Bauteilfläche Flanke SR	$S_F = 9,5 \text{ m}^2$	
Bauteilfläche Flanke ER	$S_f = 11,6 \text{ m}^2$	
Empfangsraumvolumen	$V_E = 75,9 \text{ m}^3$	
Senderraumvolumen	$V_S = 72 \text{ m}^3$	

Bewertetes Flankendämm-Maß	$R_{Ff,w} = 52 \text{ dB}$
Bewertetes Flankendämm-Maß	$R_{Df,w} = 57 \text{ dB}$

f in Hz	Y14 $R_{Ff}$ in dB	Y13 $R_{Df}$ in dB
50	30,3	29,5
63	36,5	35,8
80	40,2	36,8
100	42,4	44,0
125	44,0	45,7
160	46,1	48,7
200	47,9	47,8
250	46,8	50,7
315	47,2	49,3
400	50,7	50,8
500	49,8	52,6
630	46,6	52,0
800	45,5	53,5
1000	49,5	57,2
1250	51,8	60,7
1600	55,4	63,5
2000	56,6	67,1
2500	58,0	68,6
3150	59,9	69,9
4000	61,9	71,8
5000	63,2	74,3

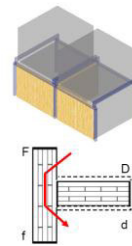


	Flankendämm-Maß $R_{Ff}$
	Flankendämm-Maß $R_{Df}$

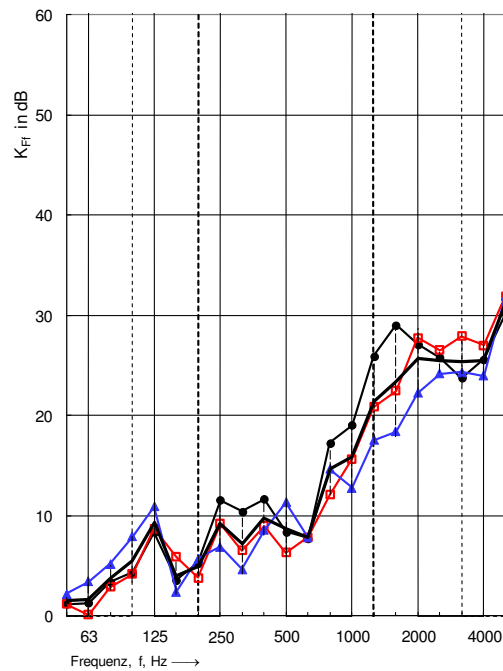
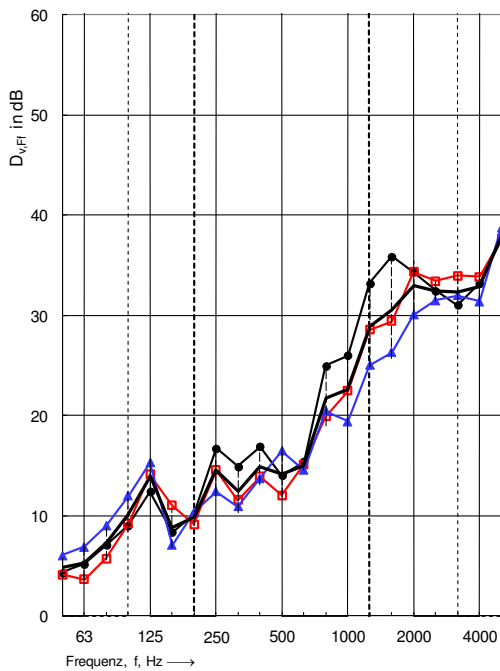
### Kopplungsgrößen Stoßtyp 3a\_F Übertragungsweg Ff:

Prüf.Nr.:	Flanke	Trennwand	$m^2_{Trennwand} / m^2_{Flanke}$
3a_F_03	80 BSP	12,5 GK / 80 BSP / 12,5 GK	1,52
3a_F_04	80 BSP	2x18 GF / 80 BSP / 2x18 GF	3,28
3a_F_06	80 BSP	2x18 GF / 140 BSP / 2x18 GF	4,1

Abmessungen
$l_{ij} = 2,70 \text{ m}$
$S_{Dd} = 11,6 \text{ m}^2$
$S_F = 9,5 \text{ m}^2$
$S_I = 11,8 \text{ m}^2$



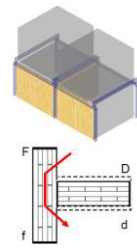
f in Hz	$D_{v,Ff}$ in dB			$\bar{x}$	$\sigma$	f in Hz	$K_{Ff}$ in dB			$\bar{x}$	$\sigma$
	3a_F_03	3a_F_04	3a_F_06				3a_F_03	3a_F_04	3a_F_06		
50	4,1	4,3	6,0	4,8	1,1	50	1,2	1,2	2,2	1,5	0,6
63	3,6	5,2	6,9	5,2	1,6	63	0,1	1,3	3,4	1,6	1,7
80	5,7	7,0	9,0	7,2	1,6	80	2,9	3,4	5,2	3,8	1,2
100	9,2	9,0	12,0	10,1	1,7	100	4,2	4,3	7,9	5,5	2,1
125	14,1	12,4	15,3	13,9	1,5	125	8,7	8,4	10,9	9,3	1,4
160	11,0	8,4	7,0	8,8	2,0	160	5,9	3,6	2,4	3,9	1,8
200	9,1	10,1	10,4	9,9	0,7	200	3,8	5,3	5,7	5,0	1,0
250	14,5	16,7	12,4	14,5	2,2	250	9,2	11,5	6,9	9,2	2,3
315	11,5	14,9	10,9	12,4	2,2	315	6,5	10,4	4,7	7,2	3,0
400	13,9	16,9	13,7	14,8	1,8	400	9,0	11,7	8,6	9,7	1,7
500	12,0	14,0	16,5	14,2	2,2	500	6,3	8,4	11,3	8,7	2,5
630	15,1	15,4	14,5	15,0	0,4	630	7,8	7,7	7,8	7,8	0,1
800	19,9	25,0	20,4	21,8	2,8	800	12,1	17,2	14,6	14,7	2,6
1000	22,4	26,0	19,4	22,6	3,3	1000	15,7	19,0	12,8	15,8	3,1
1250	28,5	33,2	25,0	28,9	4,1	1250	20,9	25,9	17,5	21,4	4,2
1600	29,4	35,9	26,3	30,5	4,9	1600	22,4	29,0	18,4	23,3	5,4
2000	34,3	34,3	30,1	32,9	2,5	2000	27,7	27,1	22,2	25,7	3,0
2500	33,4	32,5	31,5	32,5	1,0	2500	26,5	25,8	24,2	25,5	1,2
3150	34,0	31,0	32,0	32,3	1,5	3150	27,9	23,7	24,3	25,3	2,3
4000	33,8	33,2	31,4	32,8	1,3	4000	27,0	25,6	24,0	25,5	1,5
5000	37,6	37,5	38,7	38,0	0,7	5000	31,9	30,1	31,9	31,3	1,0
$D_{v,Ff,n}$	10,4	13,2	10,0	11,2		$K_{Ff}$	10,1	13,0	10,0	11,1	



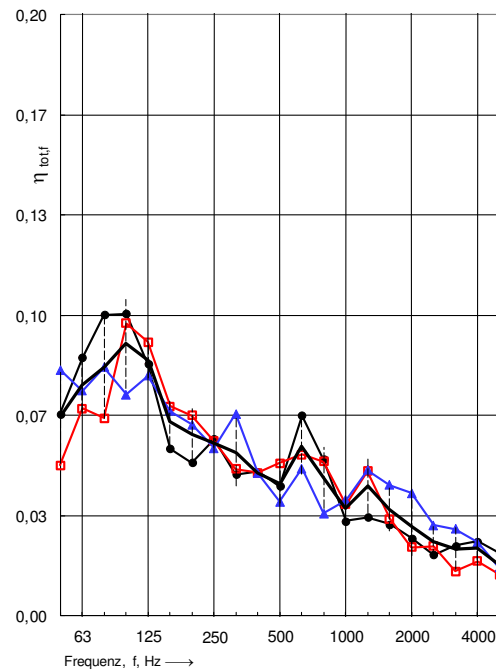
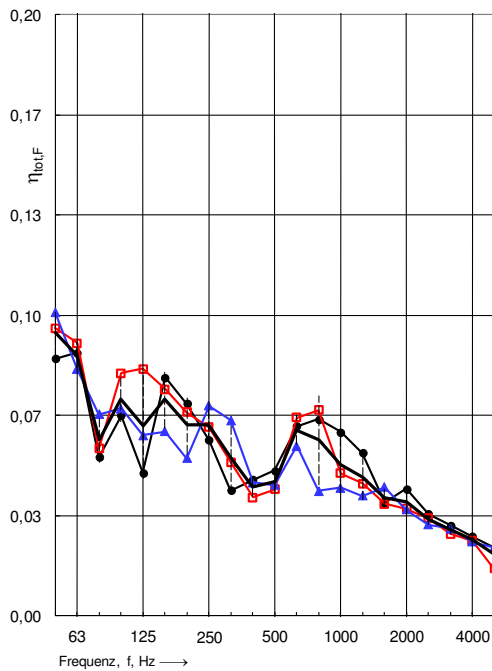
**Abbildung 5**  $D_{v,ij}$ ,  $K_{ij}$ : Horizontaler T-Stoß durchlaufend, bestehend aus BSP Wänden, Trennwände mit Beplankung: Messdaten  $D_{v,Ff}$  mit zugehörigen Messkurven (links), Messdaten  $K_{Ff}$  mit zugehörigen Messkurven (rechts)

**Gesamt Verlustfaktoren der Stoßbauteile, 3a\_F, Übertragungsweg Ff:**

Prüf.Nr.:	Flanke	Trennwand	$\frac{m^2 \text{ Trennwand}}{m \text{ Flanke}}$	Abmessungen
3a_F_03	80 BSP	12,5 GK / 80 BSP / 12,5 GK	1,52	$l_{ij} = 2,70 \text{ m}$
3a_F_04	80 BSP	2x18 GF / 80 BSP / 2x18 GF	3,28	$S_{Dd} = 11,6 \text{ m}^2$
3a_F_06	80 BSP	2x18 GF / 140 BSP / 2x18 GF	4,1	$S_f = 9,5 \text{ m}^2$
				$S_l = 11,8 \text{ m}^2$



f in Hz	$\eta_{tot,F}$			$\bar{x}$	$\sigma$	f in Hz	$\eta_{tot,f}$			$\bar{x}$	$\sigma$
50	0,096	0,086	0,101	0,094	0,008	50	0,050	0,067	0,082	0,066	0,016
63	0,091	0,087	0,082	0,087	0,004	63	0,069	0,086	0,075	0,077	0,009
80	0,056	0,053	0,067	0,058	0,008	80	0,066	0,100	0,083	0,083	0,017
100	0,081	0,067	0,069	0,072	0,008	100	0,097	0,101	0,074	0,090	0,015
125	0,082	0,048	0,060	0,063	0,017	125	0,091	0,084	0,080	0,085	0,006
160	0,075	0,079	0,061	0,072	0,009	160	0,070	0,056	0,068	0,064	0,008
200	0,068	0,071	0,052	0,064	0,010	200	0,067	0,051	0,064	0,060	0,008
250	0,063	0,059	0,070	0,064	0,006	250	0,058	0,059	0,056	0,058	0,002
315	0,051	0,042	0,065	0,053	0,012	315	0,049	0,047	0,067	0,054	0,011
400	0,039	0,045	0,044	0,043	0,003	400	0,048	0,048	0,047	0,048	0,000
500	0,042	0,048	0,043	0,045	0,003	500	0,051	0,043	0,038	0,044	0,006
630	0,066	0,063	0,056	0,062	0,005	630	0,054	0,067	0,049	0,056	0,009
800	0,068	0,065	0,042	0,058	0,015	800	0,051	0,052	0,034	0,046	0,010
1000	0,047	0,061	0,043	0,050	0,010	1000	0,037	0,032	0,039	0,036	0,004
1250	0,044	0,054	0,040	0,046	0,007	1250	0,048	0,033	0,048	0,043	0,009
1600	0,037	0,038	0,043	0,039	0,003	1600	0,032	0,030	0,044	0,035	0,007
2000	0,036	0,042	0,035	0,038	0,004	2000	0,023	0,026	0,041	0,030	0,010
2500	0,032	0,034	0,030	0,032	0,002	2500	0,023	0,020	0,030	0,025	0,005
3150	0,027	0,030	0,029	0,029	0,001	3150	0,015	0,023	0,029	0,022	0,007
4000	0,025	0,026	0,025	0,025	0,001	4000	0,018	0,025	0,024	0,022	0,004
5000	0,016	0,023	0,023	0,020	0,004	5000	0,014	0,021	0,016	0,017	0,004

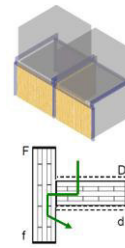


**Abbildung 6**  $\eta_{tot}$ : Horizontaler T-Stoß durchlaufend, bestehend aus BSP Wänden, Trennwände mit Beplankung: Messdaten  $\eta_{tot,F}$  mit zugehörigen Messkurven (links); Messdaten  $\eta_{tot,f}$  mit zugehörigen Messkurven (rechts)

### Kopplungsgrößen Stoßtyp 3a\_F Übertragungsweg Df:

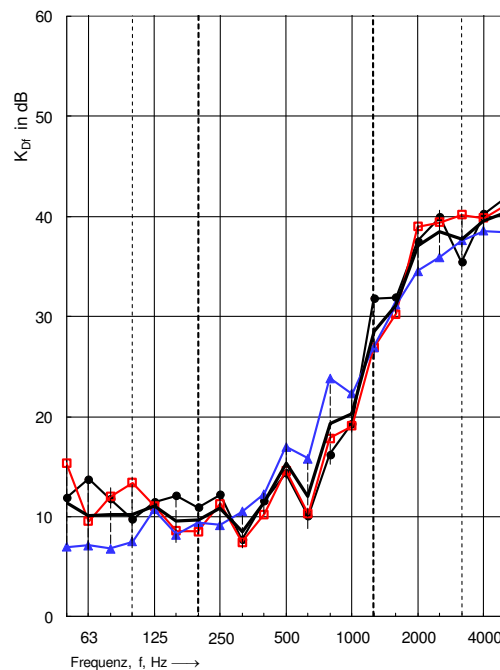
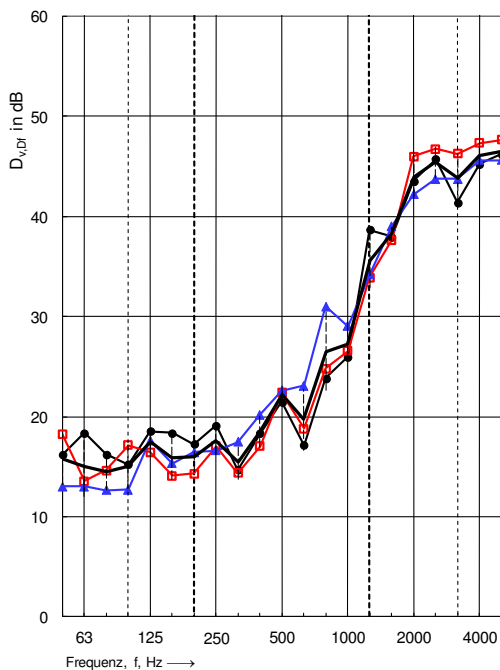
Prüf.Nr.:	Flanke	Trennwand	$m^2_{Trennwand} / m^2_{Flanke}$
3a_F_03	80 BSP	12,5 GK / 80 BSP / 12,5 GK	1,52
3a_F_04	80 BSP	2x18 GF / 80 BSP / 2x18 GF	3,28
3a_F_06	80 BSP	2x18 GF / 140 BSP / 2x18 GF	4,1

Abmessungen
$l_{ij} = 2,70 \text{ m}$
$S_{Dd} = 11,6 \text{ m}^2$
$S_F = 9,5 \text{ m}^2$
$S_I = 11,8 \text{ m}^2$



f in Hz	$D_{v,Df}$ in dB			$\bar{x}$	$\sigma$
50	18,2	16,2	13,0	15,8	2,6
63	13,6	18,4	13,0	15,0	3,0
80	14,6	16,3	12,6	14,5	1,8
100	17,2	15,2	12,7	15,0	2,2
125	16,4	18,5	17,6	17,5	1,0
160	14,1	18,4	15,3	15,9	2,2
200	14,3	17,2	16,4	16,0	1,5
250	17,1	19,1	16,6	17,6	1,3
315	14,3	14,7	17,5	15,5	1,7
400	17,0	18,3	20,2	18,5	1,6
500	22,4	21,5	22,6	22,2	0,6
630	18,8	17,1	23,1	19,7	3,1
800	24,8	23,8	31,0	26,5	3,9
1000	26,6	26,0	29,0	27,2	1,6
1250	33,9	38,6	34,2	35,6	2,7
1600	37,7	38,0	39,0	38,2	0,7
2000	46,0	43,6	42,2	43,9	1,9
2500	46,7	45,8	43,7	45,4	1,5
3150	46,2	41,4	43,7	43,8	2,4
4000	47,3	45,2	45,6	46,1	1,1
5000	47,7	46,2	45,6	46,5	1,0
$D_{v,Df,n}$	14,7	15,5	17,0	15,7	

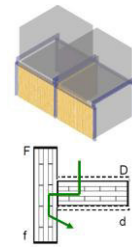
f in Hz	$K_{Df}$ in dB			$\bar{x}$	$\sigma$
50	15,4	11,9	7,0	11,4	4,2
63	9,6	13,7	7,1	10,1	3,3
80	12,0	11,8	6,8	10,2	2,9
100	13,4	9,8	7,5	10,2	3,0
125	11,1	11,5	10,7	11,1	0,4
160	8,6	12,1	8,2	9,6	2,1
200	8,5	10,9	9,4	9,6	1,2
250	11,3	12,2	9,2	10,9	1,6
315	7,4	7,7	10,5	8,5	1,7
400	10,3	11,6	12,3	11,4	1,0
500	14,6	14,3	17,0	15,3	1,5
630	10,3	10,1	15,8	12,1	3,3
800	17,8	16,2	23,8	19,3	4,0
1000	19,1	19,4	22,3	20,2	1,8
1250	26,9	31,8	26,9	28,5	2,8
1600	30,3	31,9	31,2	31,1	0,8
2000	39,0	37,6	34,5	37,0	2,3
2500	39,4	40,0	35,9	38,4	2,2
3150	40,1	35,5	37,6	37,7	2,3
4000	39,9	40,3	38,6	39,6	0,9
5000	41,1	41,8	38,4	40,4	1,8
$K_{Df}$	14,0	14,9	16,4	15,1	



**Abbildung 7**  $D_{v,ij}$ ,  $K_{ij}$ : Horizontaler T-Stoß durchlaufend, bestehend aus BSP Wänden, Trennwände mit Beplankung: Messdaten  $D_{v,Df}$  mit zugehörigen Messkurven (links), Messdaten  $K_{Df}$  mit zugehörigen Messkurven (rechts)

**Gesamt Verlustfaktoren der Stoßbauteile, 3a\_F, Übertragungsweg Df:**

Prüf.Nr.:	Flanke	Trennwand	$\frac{m^2 \text{ Trennwand}}{m \text{ Flanke}}$	Abmessungen
3a_F_03	80 BSP	12,5 GK / 80 BSP / 12,5 GK	1,52	$l_{ij} = 2,70 \text{ m}$
3a_F_04	80 BSP	2x18 GF / 80 BSP / 2x18 GF	3,28	$S_{Dd} = 11,6 \text{ m}^2$
3a_F_06	80 BSP	2x18 GF / 140 BSP / 2x18 GF	4,1	$S_f = 9,5 \text{ m}^2$
				$S_l = 11,8 \text{ m}^2$

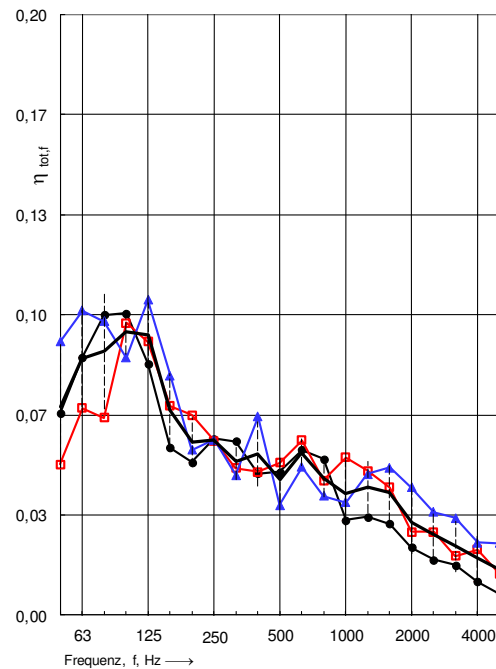
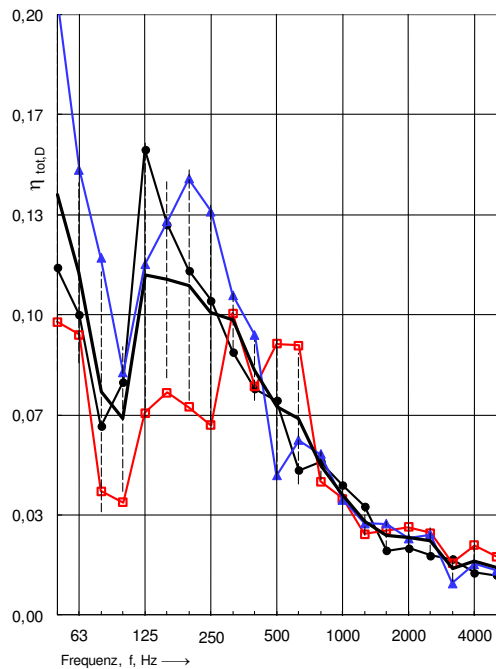


3



f in Hz	$\eta_{tot,D}$			$\bar{x}$	$\sigma$
50	0,098	0,116	0,206	0,140	0,058
63	0,093	0,100	0,148	0,114	0,030
80	0,041	0,063	0,119	0,074	0,040
100	0,038	0,078	0,081	0,065	0,024
125	0,067	0,155	0,117	0,113	0,044
160	0,074	0,130	0,131	0,112	0,033
200	0,069	0,115	0,145	0,110	0,038
250	0,063	0,105	0,134	0,101	0,036
315	0,101	0,088	0,107	0,098	0,010
400	0,076	0,075	0,093	0,082	0,010
500	0,090	0,071	0,046	0,069	0,022
630	0,090	0,048	0,058	0,065	0,022
800	0,044	0,051	0,054	0,050	0,005
1000	0,039	0,043	0,038	0,040	0,003
1250	0,027	0,036	0,030	0,031	0,005
1600	0,028	0,021	0,030	0,027	0,005
2000	0,029	0,022	0,026	0,026	0,003
2500	0,027	0,020	0,027	0,025	0,004
3150	0,017	0,019	0,011	0,016	0,004
4000	0,023	0,014	0,017	0,018	0,005
5000	0,020	0,013	0,015	0,016	0,003

f in Hz	$\eta_{tot,f}$			$\bar{x}$	$\sigma$
50	0,050	0,067	0,091	0,069	0,021
63	0,069	0,086	0,101	0,085	0,016
80	0,066	0,100	0,098	0,088	0,019
100	0,097	0,101	0,086	0,095	0,008
125	0,091	0,084	0,105	0,093	0,011
160	0,070	0,056	0,080	0,068	0,012
200	0,067	0,051	0,055	0,058	0,008
250	0,058	0,059	0,058	0,058	0,000
315	0,049	0,058	0,047	0,051	0,006
400	0,048	0,047	0,066	0,054	0,011
500	0,051	0,048	0,037	0,045	0,007
630	0,058	0,055	0,049	0,054	0,005
800	0,045	0,052	0,040	0,045	0,006
1000	0,052	0,032	0,038	0,041	0,011
1250	0,048	0,033	0,047	0,043	0,009
1600	0,042	0,030	0,049	0,041	0,009
2000	0,028	0,023	0,042	0,031	0,010
2500	0,028	0,018	0,034	0,027	0,008
3150	0,020	0,017	0,032	0,023	0,008
4000	0,022	0,011	0,024	0,019	0,007
5000	0,014	0,007	0,024	0,015	0,008



**Abbildung 8**  $\eta_{tot}$ : Horizontaler T-Stoß durchlaufend, bestehend aus BSP Wänden, Trennwände mit Beplankung: Messdaten  $\eta_{tot,D}$  mit zugehörigen Messkurven (links); Messdaten  $\eta_{tot,f}$  mit zugehörigen Messkurven (rechts)